

PUC-RJ Pontifícia Universidade Católica do Rio de Janeiro
MEC 2403 - Otimização e Algoritmos para Engenharia Mecânica

Trabalho 01 - Otimização sem Restrições

Professor: Ivan Menezes

Felipe da Costa Pereira - mat. 2212376
felipecostapereira@gmail.com

8 de outubro de 2022

1 Introdução

Otimização sem restrição (OSR) consiste em encontrar o mínimo de uma função $f(\vec{x})$ onde não há restrição em relação ao domínio das variáveis \vec{x} . A fim de se encontrar o mínimo da função $f(\vec{x})$ a partir de um ponto de partida (\vec{x}_0), os métodos apresentados nesse trabalho consistem na repetição de duas etapas principais até que um critério de parada seja atingido:

1. Selecionar uma direção \vec{d} a partir do ponto \vec{x}_0
2. Encontrar o mínimo da função f nessa direção, chegando a um novo ponto $\vec{x}_1 = \vec{x}_0 + \alpha\vec{d}$, onde α é um número real.
3. Tomar \vec{x}_1 como o novo ponto de partida \vec{x}_0
4. Repetir os passos de 1 a 3 até que uma condição de parada seja atingida: mínimo encontrado ($|\nabla f| = 0$), ou máximo número de iterações atingido.

Dessa forma o problema de minimização da função $f(\vec{x})$ se torna um problema de sucessivas determinações de direções de busca e suas respectivas buscas lineares nessas direções.

2 Objetivos

Os principais objetivos deste trabalho são:

- Implementar numericamente os algoritmos de otimização: Univariate, Powell, Steepest Descent, Fletcher-Reeves, Newton-Raphson e BFGS.
- Avaliar a influência dos parâmetros dos algoritmos nas métricas de convergência e comparar essas últimas com os valores esperados da teoria.
- Aplicar os algoritmos implementados na solução do problema de OSR em três casos: uma função quadrática, uma não quadrática e uma terceira função que representa um problema de engenharia (minimização da energia de um sistema massa-mola visando encontrar seu ponto de equilíbrio estático)

3 Algoritmos de Busca Linear

Os algoritmos de minimização são executados em duas etapas conforme citado anteriormente: uma primeira etapa consiste em determinar direções de busca \vec{d} e minimizar a função f nessa direção, de forma unidimensional, o que significa encontrar o valor de α que minimiza a função $f(x = x_0 + \alpha\vec{d})$ ao longo da direção \vec{d} . A busca linear é realizada em duas etapas: Passo constante e refinamento do cálculo de α .

3.1 Passo Constante

A primeira etapa da busca linear consiste numa busca inexata que visa encontrar um intervalo de valores do passo α , $[\alpha_L, \alpha_H]$ que represente uma redução suficientemente grande da função f . Essa implementação numérica incrementa o passo de um valor $d\alpha$ até que a função pare de diminuir.

3.2 Bisseção e Seção Áurea

Após a etapa do passo constante, os métodos da Bisseção ou Seção Áurea são aplicados para encontrar o valor de α , entre os valores determinados no intervalo da etapa 1. Em ambos os casos, o intervalo de ocorrência do valor mínimo de f é sucessivamente reduzido até que seja muito pequeno e considera-se, dado esse critério numérico, solucionado o problema da minimização de f nessa direção, encontrando o passo α_k correspondente a esse mínimo.

O método da bisseção divide sucessivamente o intervalo descartando a parte superior ou inferior do mesmo avaliando o valor da função f na vizinhança esquerda e direita de um α_M médio do intervalo. Já o método da seção áurea utiliza a razão áurea para descarte dos intervalos onde f aumenta. Este último método realiza mais passos, porém possui a vantagem de avaliar menos vezes a função f uma vez que os valores avaliados no passo anterior podem ser reutilizados no passo seguinte do algoritmo, o que pode ser interessante em problemas onde a avaliação da função f é computacionalmente cara.

4 Algoritmos de Direção

Conforme descrito anteriormente, os métodos de direção determinam direções de busca do mínimo de f a partir de um ponto \vec{x}_k . A partir da busca linear encontra-se o valor do passo nessa direção que minimiza f , (α_k), os algoritmos de direção calculam, então, a próxima direção onde se deve minimizar f e a partir do novo ponto $\vec{x}_{k+1} = \vec{x}_k + \alpha_k \vec{d}$. O processo se repete até que uma condição de parada seja atingida.

4.1 Univariante

O método univariante é o mais simples, onde as direções de busca são as direções canônicas, $\vec{d}_k = \vec{e}_k$.

4.2 Powell

O método de Powell utiliza em seu algoritmo direções denominadas "movimento padrão". O método de Powell gera direções Q-conjugadas, o que representa uma aceleração em relação ao método univariante. O método de Powell converge para o mínimo de uma função quadrática n variáveis em um número finito de passos dado por $n + 1$ (notas de aula).

4.3 Steepest Descent

O método Steepest Descent é um método onde as direções são dadas pela direção oposta ao gradiente da função f . Ou seja, $\vec{d}_k = -\vec{\nabla} f(\vec{x}_k)$.

4.4 Fletcher-Reeves

Este método consiste em uma adaptação do método dos Gradientes Conjugados que o torna capaz de ser usado para minimização de uma função qualquer. Para tanto, duas modificações precisam ser realizadas, a avaliação da matriz Q (ou Hessiana para função não quadrática) é substituída por uma busca linear e o parâmetro β modificado (notas de aula)

4.5 Newton-Raphson

4.6 BFGS

5 Metodologia

Para atingir os objetivos do trabalho, foram programados scripts em linguagem Matlab, organizados conforme esquematizado na figura 1.

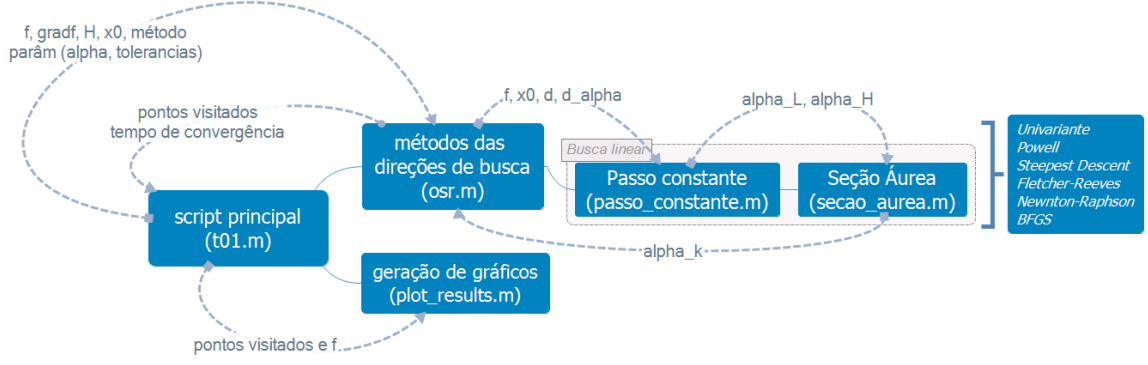


Figura 1: Fluxo dos scripts

Um script principal *t01.m* escolhe os parâmetros do algoritmo: α da busca linear, máximo número de iterações e tolerâncias para avaliar a convergência. Além disso esse script cria as funções, seus gradientes, matriz Hessiana e pontos iniciais, a serem passados como parâmetros para o script que implementa os algoritmos, conforme ilustrado na listagem 1 da seção Anexos.

Em seguida, o script *t01.m* chama o script *osr.m* para cada método e plota as curvas de nível da função f e todos os pontos visitados durante a busca do algoritmo, através do script *plot_result.m* (listagem 2)

O script *osr.m* implementa de fato os algoritmos a partir dos parâmetros recebidos, retornando todos os valores de \vec{x} visitados e o tempo de execução. A listagem de código 3 ilustra a implementação do algoritmo de Powell.

Outros dois scripts invocados na solução dos problemas propostos são *passo_constante.m* e *secao_aurea.m*, que realizam a etapa de busca linear para cada direção de busca. Esses códigos são listados nas listagens 4 e 5, respectivamente.

6 Resultados

7 Conclusões

In order to use the Tustin model for the friction force as proposed, the torque expression changes from equation 1 to equation 2 described below:

Torque expression using Coulomb friction force model:

$$\tau(t) = M\ddot{q}(t) + F_v\dot{q}(t) + F_c\text{sign}(\dot{q}(t)) + offset \quad (1)$$

Torque expression using Tustin friction force model:

$$\tau(t) = M\ddot{q}(t) + F_v\dot{q}(t) + F_c\text{sign}(\dot{q}(t)) + (F_s - F_c)e^{-\frac{|\dot{q}|}{v_s}} + offset \quad (2)$$

Parameters and $\dot{x}_2 = \ddot{q}$ expression on the state vector:

The range for the v_s parameter was based on the respective value given by the IDIM model ($v_s = 0.006464$). The rest of the code is kept exactly the same.

8 Results

After performing the grey box identification using the casadi library, we compare the parameters values estimated by the inverse dynamic model (IDM) and the grey box casadi model. The values of the estimated parameters, for both the Coulomb and the Tustin friction forces are shown in tables 1 and 2.

Tabela 1: Coulomb Model parameters

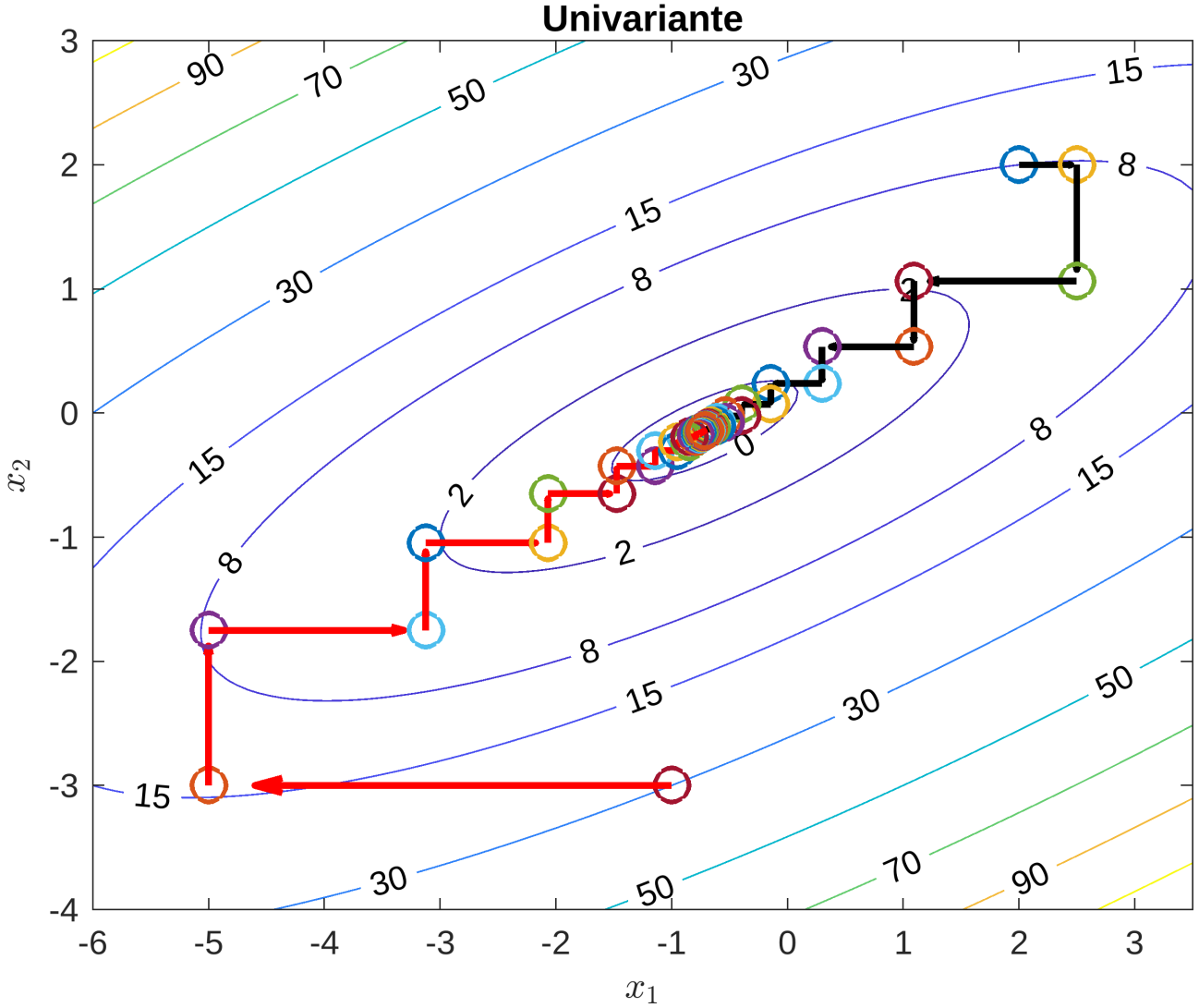
Model	M	Fv	Fc	ofst
casadi	95.1089	203.5034	20.3935	-3.1648
IDIM	96.0014	213.8943	19.4167	-3.2790

Tabela 2: Tustin Model parameters

Model	M	Fv	Fc	Fs	vs	ofst
casadi	97.001	222.01	18.606	36.3311	0.000900	-3.29
IDIM	95.681	203.36	17.023	17.0230	0.006464	-4.12

The simulated responses and the associated errors, for both force models (Coulomb and Tustin) and parameters estimation methods (casadi and IDIM) are shown in figures 2 and 3.

As we can notice, casadi models estimate have a good fit for both force models, while IDIM models have a poor performance (higher error) when estimating the Tustin force model parameters.

**Figura 2:** Position (y) - real and estimated dsata

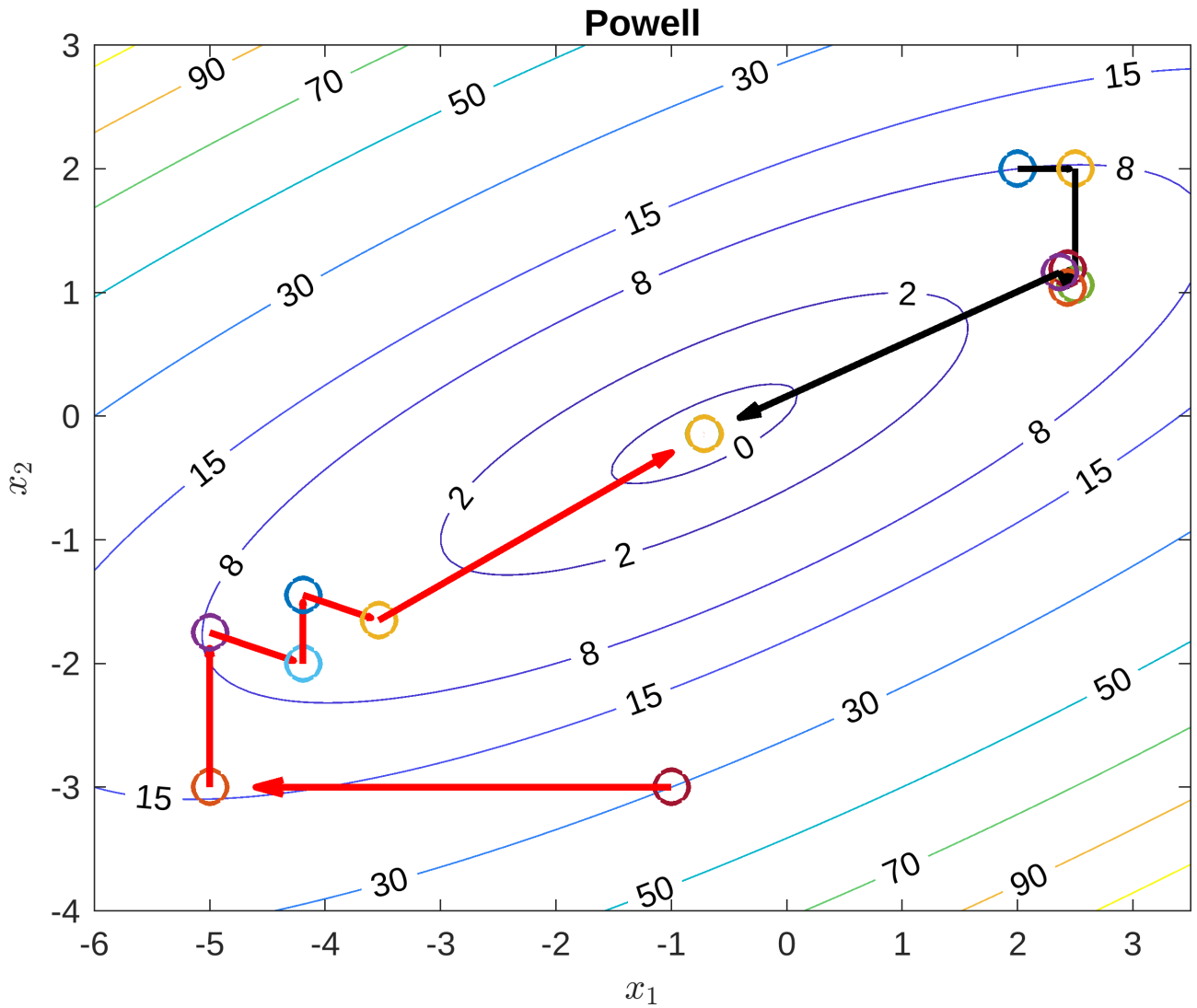


Figura 3: Error between estimated and real data

9 Anexos - Códigos

asds

Código 1: script t01.m setando parâmetros e criando as funções

```
% dados do item 01a, f, grad f, hess f e x0
fa = @(x) x(1)^2-3*x(1)*x(2)+4*x(2)^2+x(1)-x(2);
gfa = @(x) [2*x(1)-3*x(2)+1 ; -3*x(1)+8*x(2)-1];
Ha = @(x) [2 -3;-3 8];
x01 = [2;2];
x02 = [-1;-3];
% parametros dos algoritmos
iter_max = 100;
a = 0.002; % passo
TOL = 1e-4; % parada do gradiente
TOL2 = 1e-7; % busca linear
methods = ["Univariante","Powell","Steepest Descent","Fletcher Reeves","Newton-Raphson","BFGS"];
```

Código 2: script t01.m chamando o script osr.m para a função do item 1a para cada um dos 6 métodos estudados

```
fprintf('\n*****ITEM_01A*****\n');
for method = 1:6
    fprintf('---%s---\n', methods(method));

    fprintf('x0=[%2d,%2d]:\n',x01(1), x01(2));
    [x_1,t] = osr (fa, gfa, Ha, x01, method, iter_max, a, TOL, TOL2);
    fprintf(' (%fms), xmin=[%0.4f,%0.4f], f=%0.4f\n', t*1000, x_1(1,end), x_1(2,end), fa(x_1(:,end)));

    fprintf('x0=[%2d,%2d]:\n',x02(1), x02(2));
    [x_2,t] = osr (fa, gfa, Ha, x02, method, iter_max, a, TOL, TOL2);
    fprintf(' (%fms), xmin=[%0.4f,%0.4f], f=%0.4f\n', t*1000, x_2(1,end), x_2(2,end), fa(x_2(:,end)));

    plot_result(min([x_1(1,:), x_2(1,:)]-dx,max([x_1(1,:), x_2(1,:)]+dx),min([x_1(2,:), x_2(2,:)]-dx,max([x_1(2,:), x_2(2,:)]+dx), x_1,
        x_2, methods(method), 1)
    exportgraphics(gcf, strcat('./figures/img01a_m0',num2str(method),'.png'),'Resolution',500)
end
```

Código 3: script osr.m implementando o método de Powell

```
function [x_,time_elap] = osr (f, gf, H, x0, method, iter_max, a, TOL, TOL2)
% 1. Univariate
% 2. Powell
% 3. Steepest Descent
% 4. Fletcher-Reeves
% 5. Newton-Raphson
% 6. BFGS

k=0;
conv=0; %flag convergencia
tstart = tic;
switch method
case 2
% 2. Powell
x_ = x0;
x = x0;
while k < iter_max
j = 1;
n = 2;
y = [[1;0],[0;1]];
while j <= n
[alpha_L, alpha_H] = passo_constante(f, x, y(:,1), a);
alpha_k = secas_aurea(f, x, y(:,1), TOL2, alpha_L, alpha_H);
k=k+1;
x = x + alpha_k*y(:,1);
x_ = [x_,x];
[alpha_L, alpha_H] = passo_constante(f, x, y(:,2), a);
alpha_k = secas_aurea(f, x, y(:,2), TOL2, alpha_L, alpha_H);
k=k+1;
x = x + alpha_k*y(:,2);
x_ = [x_,x];
d = x-x0;
[alpha_L, alpha_H] = passo_constante(f, x, d, a);
alpha_k = secas_aurea(f, x, d, TOL2, alpha_L, alpha_H);
k=k+1;
x0 = x + alpha_k*d;
x=x0;
x_ = [x_,x];

y(:,1) = y(:,2);
y(:,2) = d;

j = j+1;
end
if norm(gf(x)) < TOL
fprintf('%d steps!', k);
conv=1;
break;
end
end
if conv == 0
fprintf('Nao convergiu apos %d steps', k);
end
```

Código 4: script osr.m implementando o método de Powell

```
function [alpha_L, alpha_H] = passo_constante(f, x0, d, a)
alpha = 0;
f_min = Inf;
f_val = f(x0);
alphas = [];
f1 = f(x0 - a*d);
f2 = f(x0 + a*d);
if f1 < f2
a=-a; % desce a esq (d-)
end
while f_val <= f_min
x = x0 + alpha * d;
f_val = f(x);
if f_val < f_min
f_min = f_val;
end
alphas = [alphas; alpha];
alpha = alpha + a;
end
alpha_L = alphas(end-1);
alpha_H = alphas(end);
if a < 0
alpha_H = alphas(end-1);
alpha_L = alphas(end);
end
end
```

Código 5: script osr.m implementando o método de Powell

```
function alpha_k = secasoaures (f, x0, d, TOL, alpha_L, alpha_H)
    ra = (sqrt(5)-1)/2;
    b = norm(alpha_L-alpha_H);
    alpha_E = alpha_L + (1-ra)*b;
    alpha_D = alpha_L + ra*b;
    f1 = f(x0 + alpha_E * d);
    f2 = f(x0 + alpha_D * d);
    while b > TOL
        if f1 > f2
            alpha_L = alpha_E;
            alpha_E = alpha_D;
            b = norm(alpha_L-alpha_H);
            alpha_D = alpha_L + ra*b;
            % avaliar menos vezes a funcao f
            f1 = f2;
            f2 = f(x0 + alpha_D * d);
        else
            alpha_H = alpha_D;
            alpha_D = alpha_E;
            b = norm(alpha_L-alpha_H);
            alpha_E = alpha_L + (1-ra)*b;
            % avaliar menos vezes a funcao f
            f2 = f1;
            f1 = f(x0 + alpha_E * d);
        end
    end
    alpha_k = (alpha_L+alpha_H)/2;
end
```